



Reporte Semanal de Clima Espacial

<https://www.sciesmex.unam.mx/blog/category/reporte-semanal-de-clima-espacial/>



Reporte semanal: del 21 al 27 de febrero 2025

LANCE

Servicio Clima Espacial

CONDICIONES DEL SOL

Regiones Activas (RA): 9

Fulguraciones: 4 tipo M, y 1 tipo X

Hoyos coronales: 3, ubicados a latitudes medias y uno hacia el polo sur solar.

Eyecciones: 4 tipo halo

CONDICIONES DEL MEDIO INTERPLANETARIO

Esta semana no se registraron regiones de interacción.

CONDICIONES DE MAGNETÓSFERA

Índice K local: Se registró una tormenta G1 (K=5) el 27 de febrero.

Índice Dst: Se registró actividad geomagnética débil en los índices ΔH y Dst el 27 de febrero.

CONDICIONES DE LA IONOSFERA

Según los datos locales, durante esta semana no se observaron variaciones significativas del TEC.

CONDICIONES DE RAYOS CÓSMICOS SOBRE MÉXICO

Del 21 al 27 de febrero se registró el final del decrecimiento Forbush (dF) debido al impacto de una RIC.

ESTALLIDOS DE RADIO

La Red Callisto detectó 34 estallidos de radio Tipo III, 1 Tipo VI y 1 Tipo II.

Pronóstico semanal: del 28 de febrero al 6 de marzo de 2025

Viento solar:

- El modelo WSA-ENLIL pronostica el arribo de corrientes de viento solar lento con velocidades alrededor de los 500 y 700 km/s, aproximadamente. No pronostica el arribo de ninguna EMC para los próximos días.

Fulguraciones solares:

- Probabilidad de que se presenten fulguraciones en los próximos días.

Tormentas ionosféricas:

- Probabilidad de perturbaciones ionosféricas.

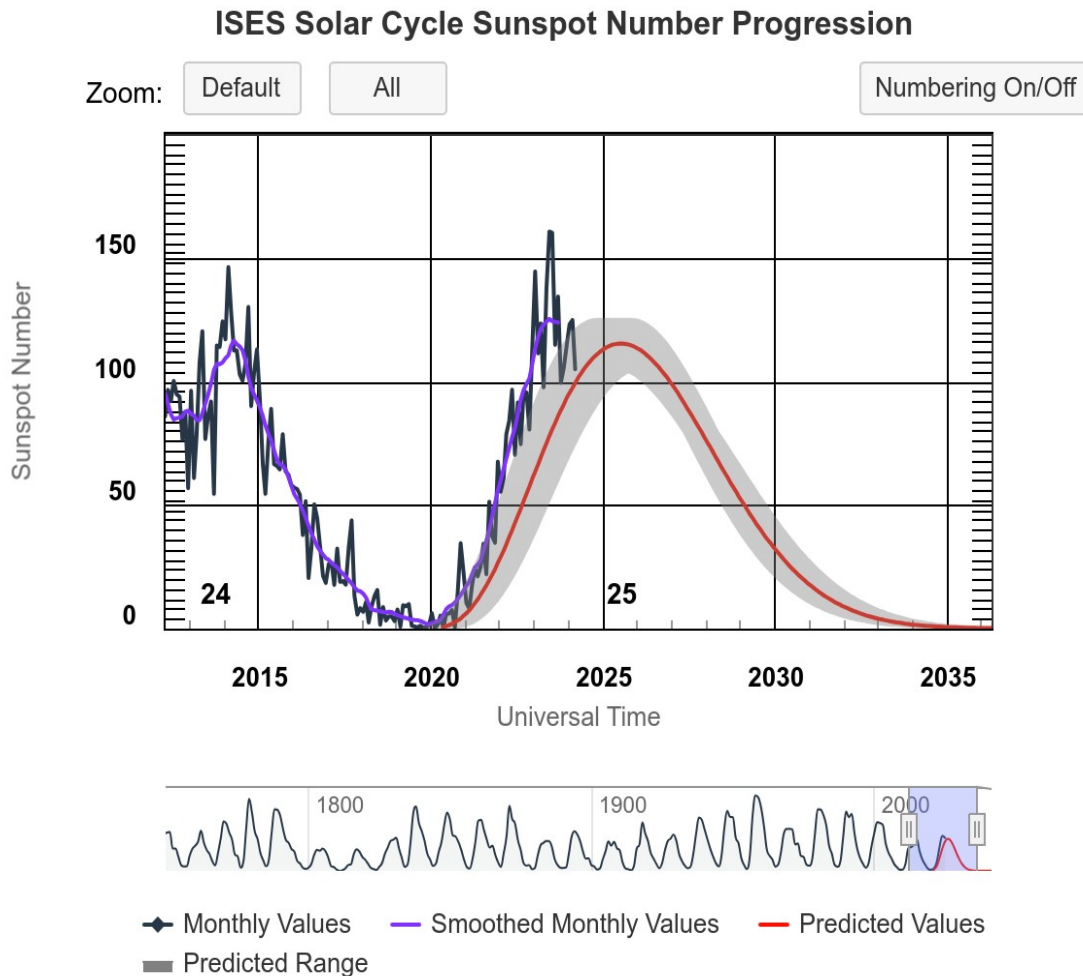
Tormentas geomagnéticas:

- Baja probabilidad de actividad geomagnética.

Tormentas de radiación solar:

- Probabilidad de tormentas de radiación.

Ciclo de manchas solares y la actividad solar



Space Weather Prediction Center

<http://www.swpc.noaa.gov/products/solar-cycle-progression>

La figura muestra el conteo del número de manchas solares desde enero del 2010.

Entre más manchas solares presente el Sol, es mayor la posibilidad de que ocurra una tormenta solar.

Nos encontramos en la fase ascendente del ciclo solar 25 con el aumento progresivo de manchas solares.

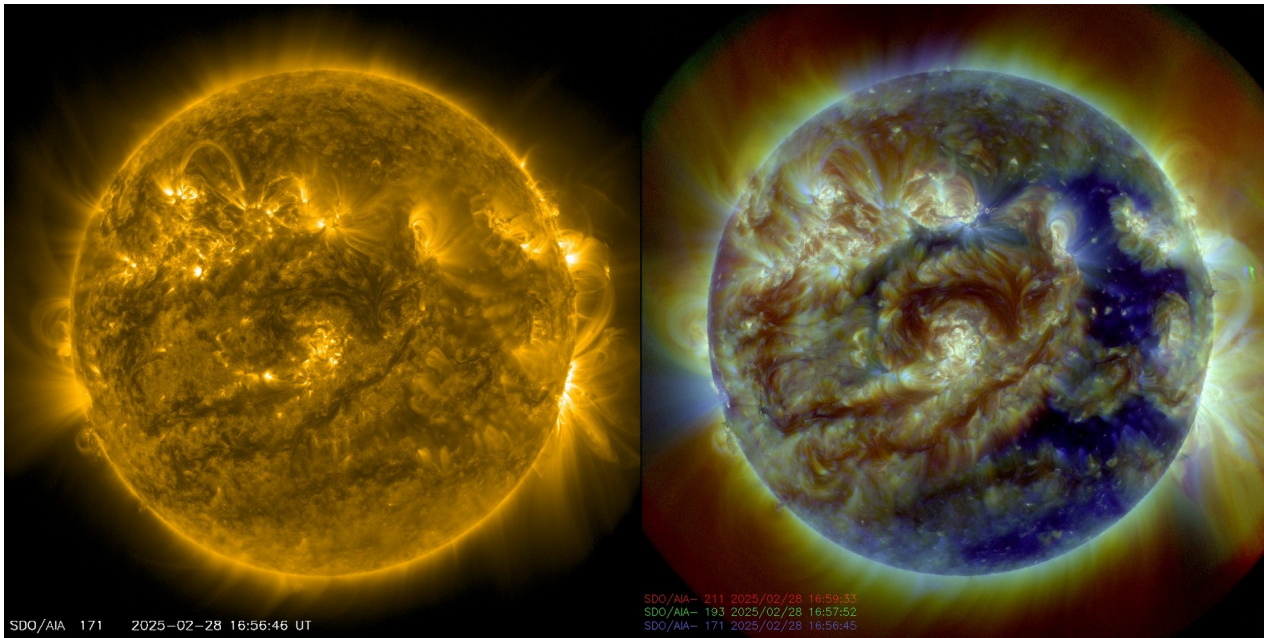
El Sol visto en distintas longitudes de onda que muestran las diferentes capas solares.

A la izquierda: La atmósfera (corona) solar vista en luz UV emitida por iones de hierro a temperaturas de alrededor de 1,000,000 K. En esta zona se aprecian las regiones activas (zonas claras) que concentran intensos campos que atrapan el plasma solar y son la principal fuente de la actividad solar.

A la derecha: Imagen del disco solar compuesta por diferentes longitudes de onda. La imagen facilita la identificación de hoyos coronales (regiones azul oscuro) que son fuente de campo magnético solar localmente abierto y también son el origen de las corrientes de viento solar rápido.

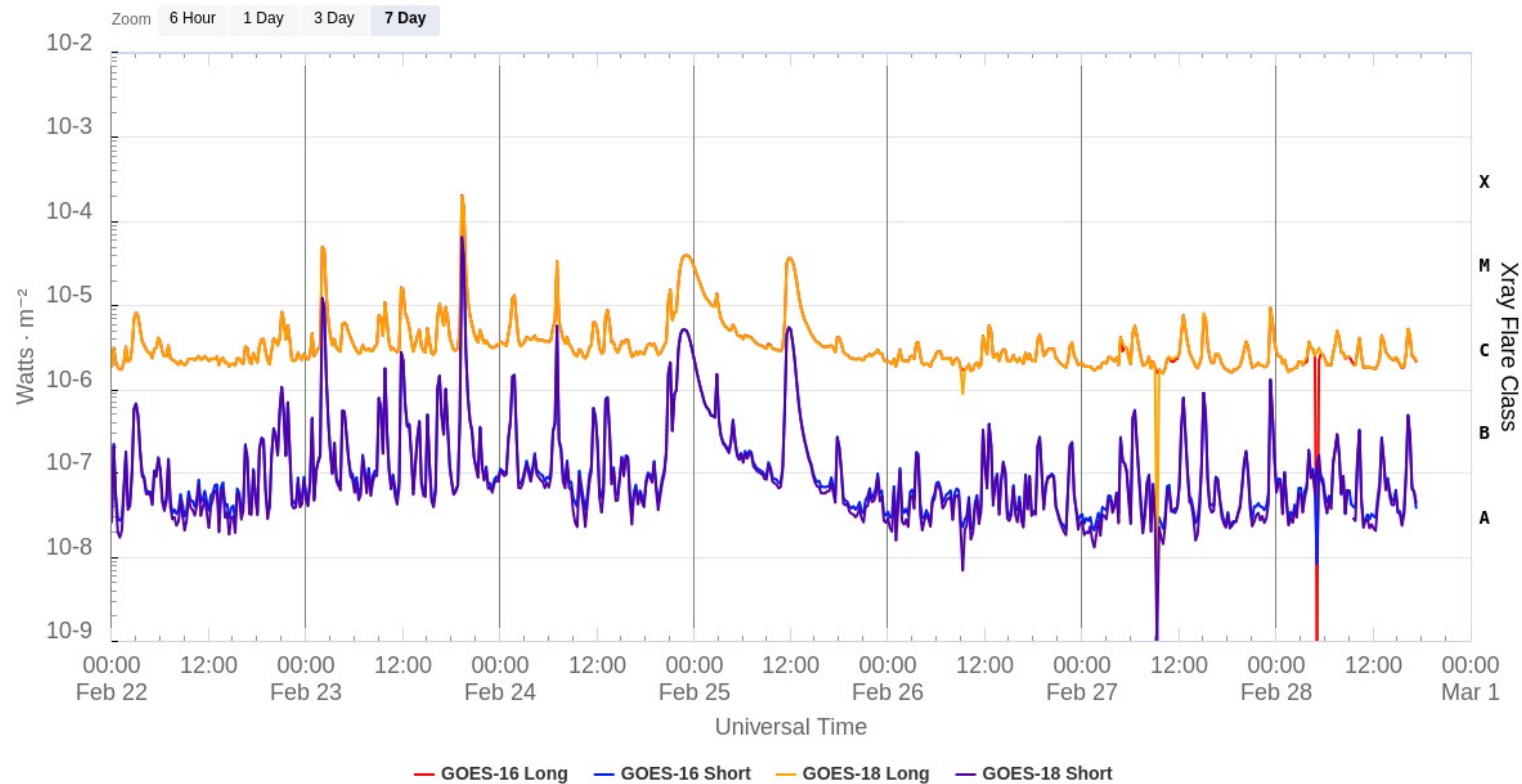
Las imágenes al día de hoy, 28 de febrero, muestran 9 regiones activas distribuidas sobre el disco solar. Además, se observan hoyos coronales a latitudes medias, y uno hacia el polo sur.

<https://sdo.gsfc.nasa.gov/data/>
<https://www.solarmonitor.org/>



Fulguraciones solares

Flujo de rayos X solares detectado por los satélites GOES.
GOES X-Ray Flux (1-minute data)

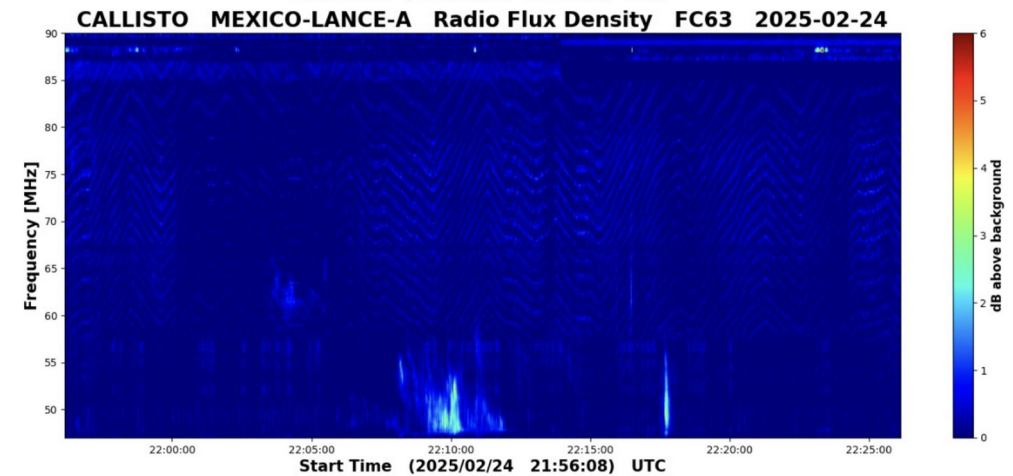
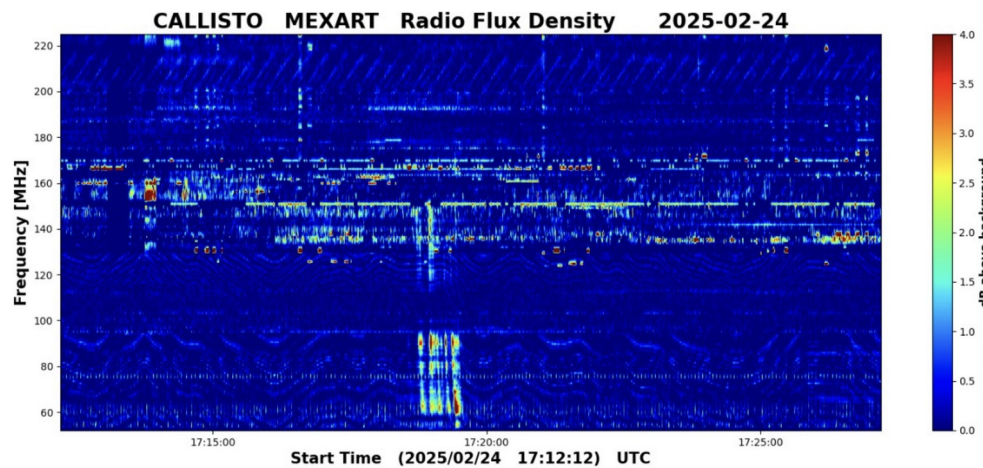
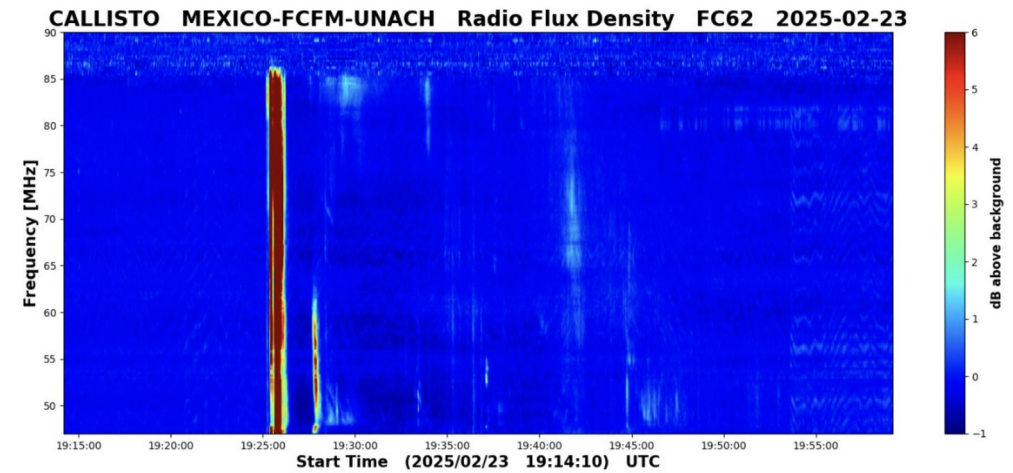
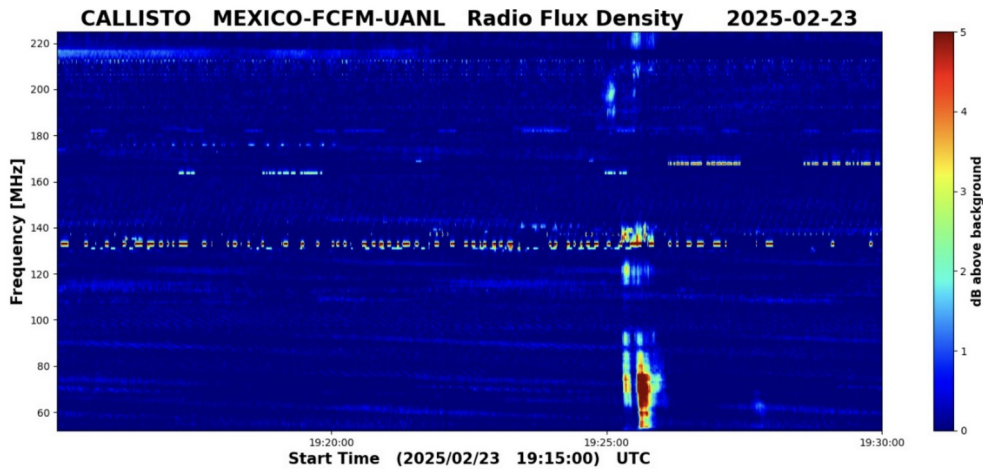


La imagen muestra el flujo de rayos X detectados durante esta semana. El día 23 de febrero se registraron dos fulguraciones una tipo M y otra tipo X, mientras que el 24 y 25 se registraron tres tipo M.

www.swpc.noaa.gov/products/goes-x-ray-flux

Estallidos de radio solares: Observaciones de la REC-Mx

En esta semana la Red de Espectrómetros Callisto de México (REC-Mx) detectó 34 estallidos de radio Tipo III, 1 Tipo VI y 1 Tipo II.



Medio interplanetario: El viento solar cercano a la Tierra

Modelo numérico WSA-ENLIL.

Al día de hoy 27 de febrero de 2025, el modelo pronostica el arribo de corrientes de viento solar promedio con velocidades que varían entre 500 y 700 km/s. No se pronostica el arribo de alguna EMC.

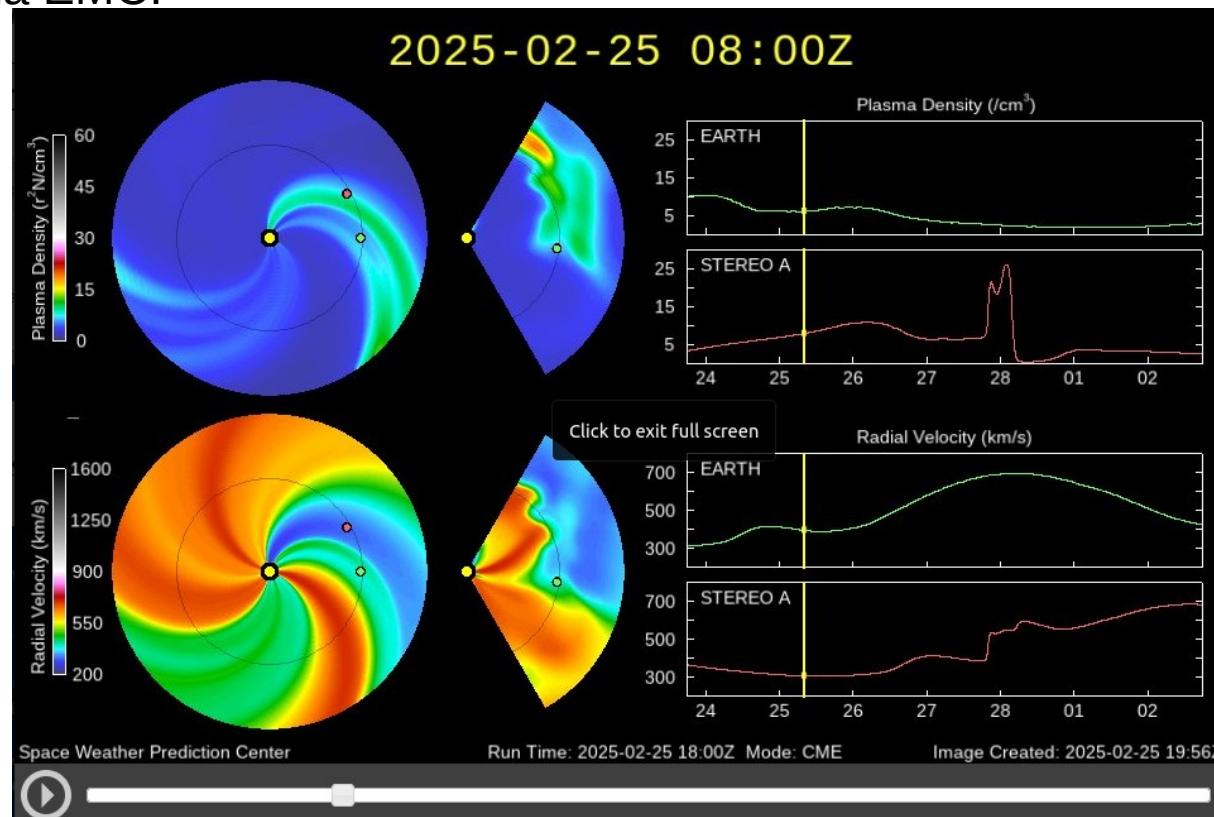


Imagen: <http://www.swpc.noaa.gov/products/wsa-enlil-solar-wind-prediction>

Medio interplanetario: Región de interacción de viento solar

Esta semana no se registró región de interacción alguna (ver imagen 2). Actualmente se observa un hoyo coronal que puede generar una región de interacción en los siguientes días (ver zona oscura delimitada por el círculo en imagen 1).

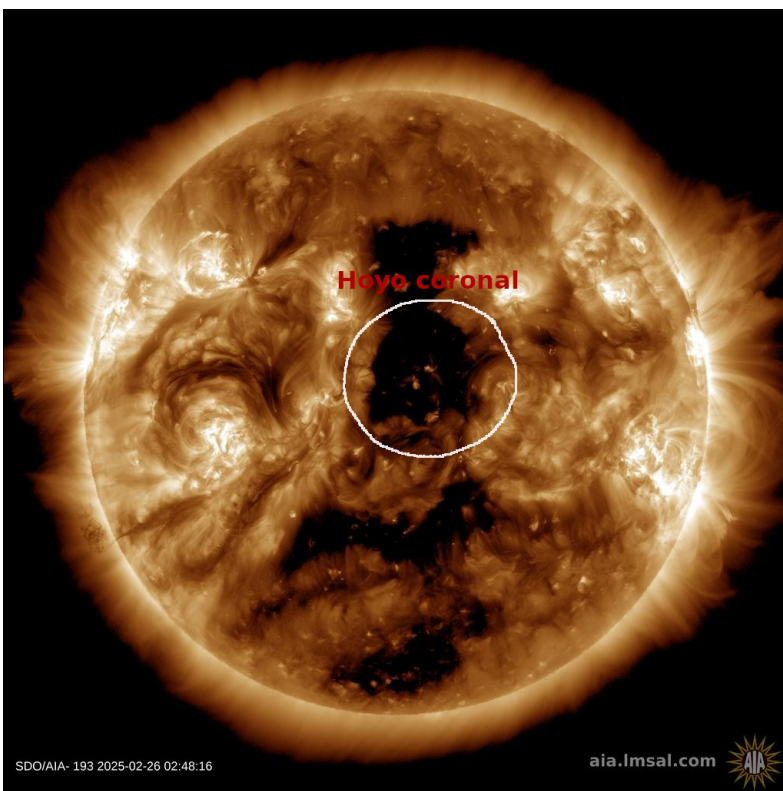


Imagen 1: <https://solarmonitor.org/>

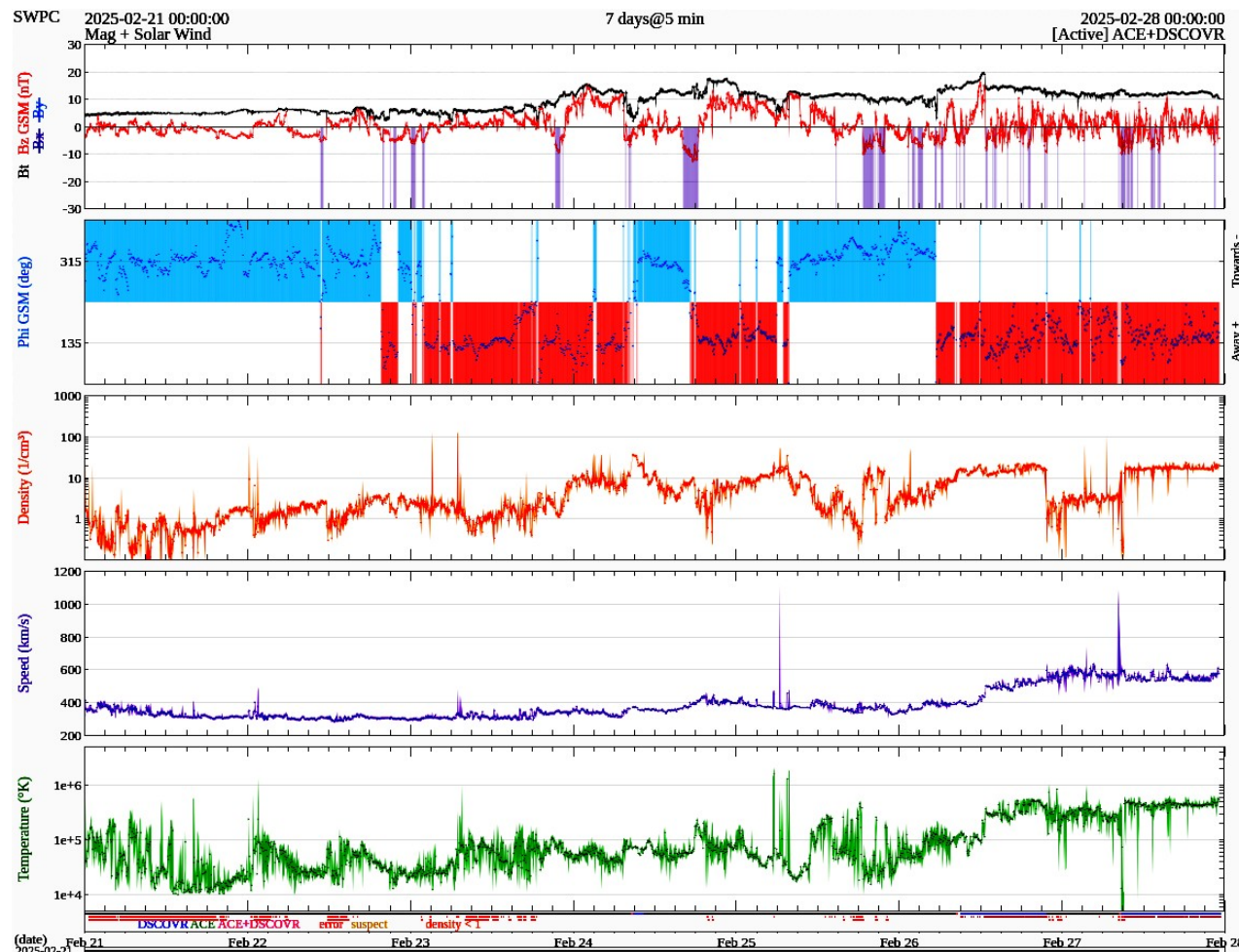


Imagen 2: <https://www.swpc.noaa.gov/products/real-time-solar-wind>

Actividad solar: Eyecciones de Masa Coronal

Se registraron 53 EMCs.
4 tipo halo (ancho > 90°).

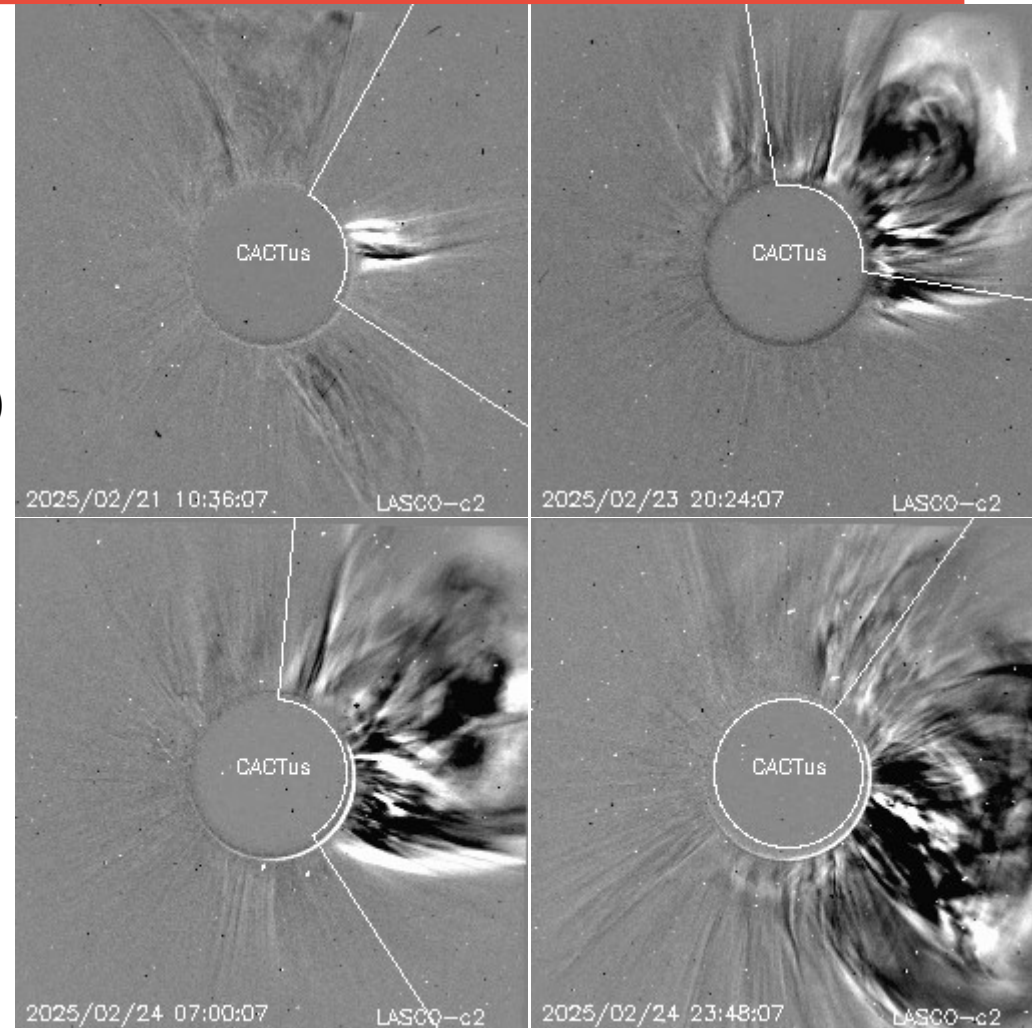
Mediciones de salida de EMC de mayor
dimensión o velocidad de esta semana:

Fecha, tiempo inicial, velocidad promedio (km/s)

2025/02/21	09:24	723
2025/02/23	19:48	856
2025/02/24	05:48	801
2025/02/24	21:24	1437

-Eyecciones observadas por SOHO/LASCO con
cálculos del sitio CACTUS.

Crédito de imágenes y valores estimados:
SOHO, the SOLAR & Heliospheric Observatory
<https://wwwbis.sidc.be/cactus/>



Medio interplanetario

Centelleo interplanetario

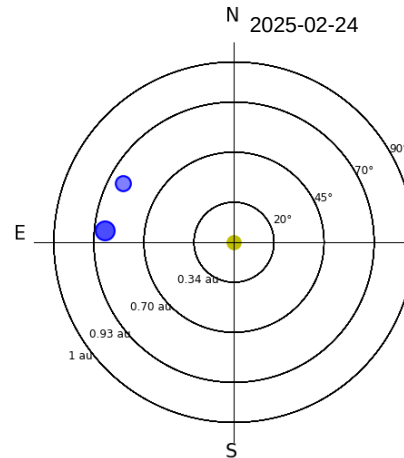
Magnitud de velocidades de viento solar registradas por MEXART.

Se muestra con círculos azules la posición aparente de fuentes de centelleo vistas desde la Tierra, su dimensión representa la rapidez del viento solar. Al centro el Sol (círculo amarillo). Los círculos concéntricos marcan la elongación o distancia heliocéntrica en grados o unidades astronómicas.

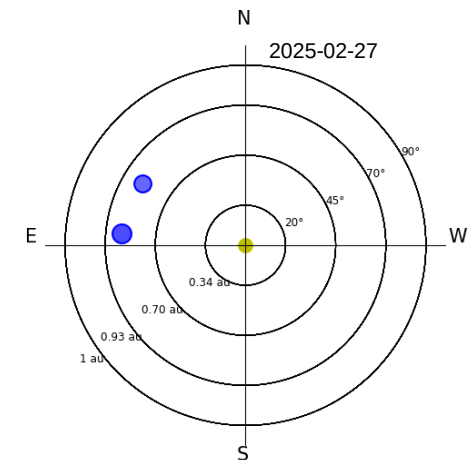
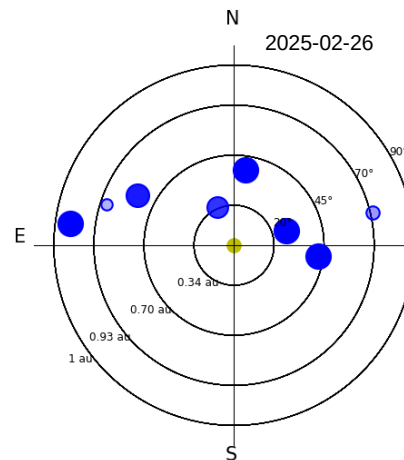
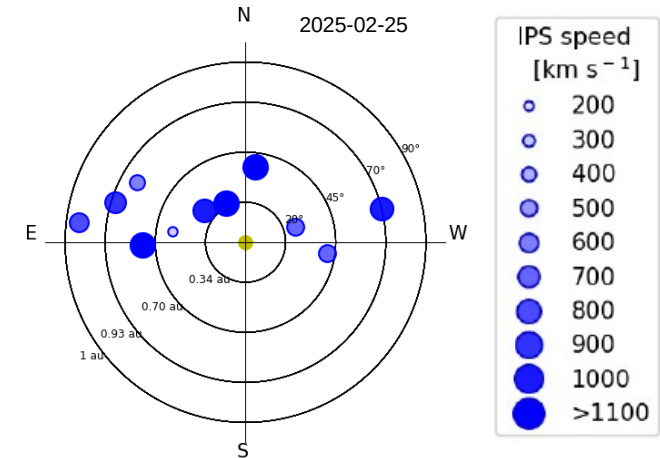
Mapas correspondientes a los últimos días en que se registraron observaciones. Velocidades en su mayoría van de 300 a 900 km/s.

Los velocidad calculada hasta ahora es experimental.

MEXART - Apparent position of Sources in



MEXART - Apparent position of Sources in the sky

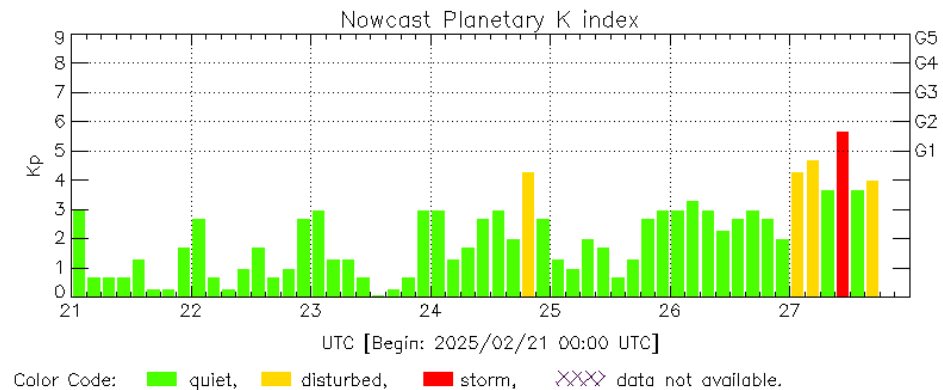


Actividad geomagnética regional y planetaria: índices Kmex y Kp

Se registró una tormenta G1 (K=5) en el índice Kp el 27 de febrero. La actividad geomagnética fue provocada por una corriente de viento solar con componente magnética Bz sur intermitente que llegó al ambiente terrestre el 27 de febrero.

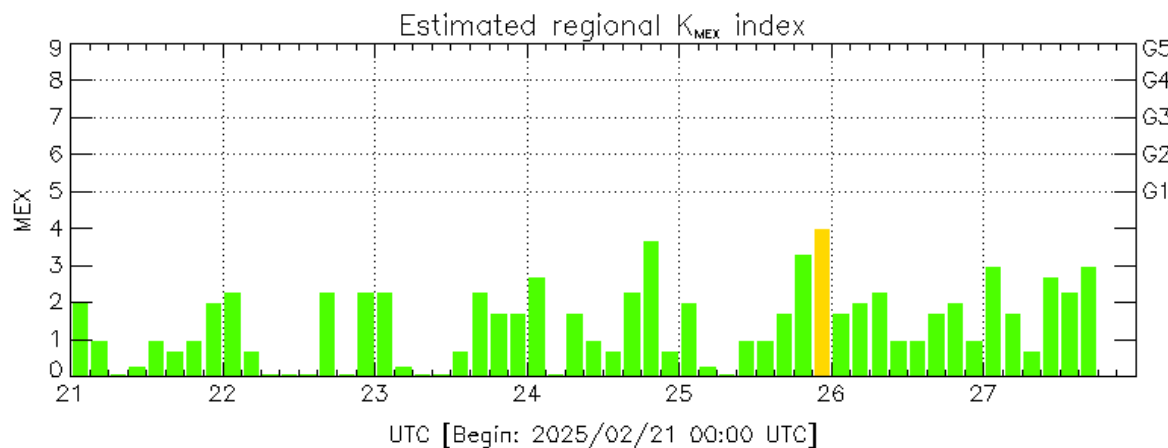
NOTA: El cálculo del índice Kmex se realizó usando datos del observatorio geomagnético en Teoloyucan, EdoMex y la estación magnética Iturbide, NL. Los datos son experimentales y no se deben de tomar como definitivos.

Datos: www.gfz-potsdam.de/en/kp-index/



Kp: by GFZ German Research Center for Geosciences
<https://www.gfz-potsdam.de/en/kp-index/>

Updated: 2025/02/27-19:59 UTC



Color Code: ■ quiet, ■ disturbed, ■ storm, XXXX data not available.

MEX: Regional early values of K index for Mexico by
REGMEX/LANCE (<http://regmex.unam.mx>)

Updated: 2025/02/27-19:59 UTC

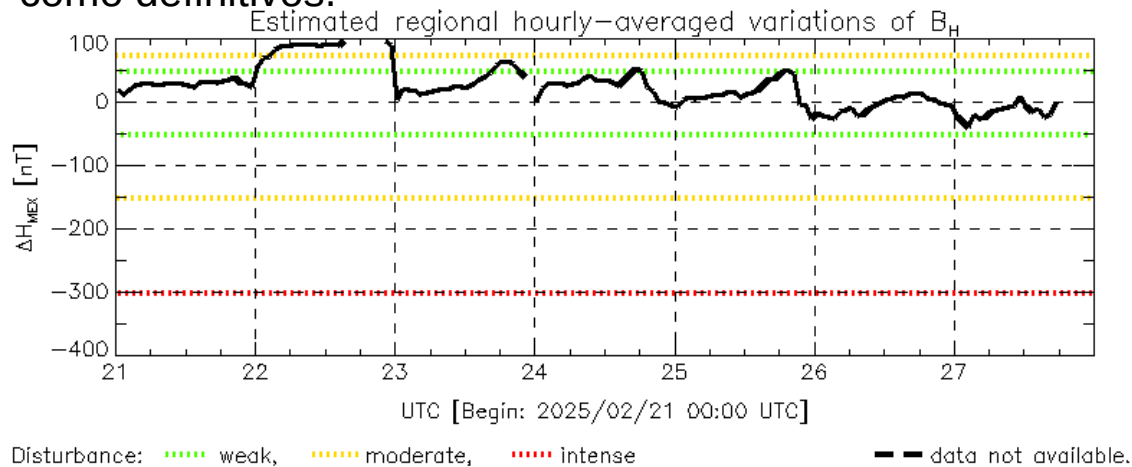
El índice K indica la intensidad de las variaciones del campo magnético terrestre en intervalos de 3 horas.

El índice Kp lo expresa a escala planetaria, mientras que el Kmex lo hace para el territorio mexicano.

Actividad geomagnética regional y planetaria: índices ΔH y Dst

Se registró actividad geomagnética débil en los índices ΔH y Dst el 27 de febrero. La actividad geomagnética fue provocada por una corriente de viento solar con componente magnética B_z sur intermitente que llegó al ambiente terrestre el 27 de febrero.

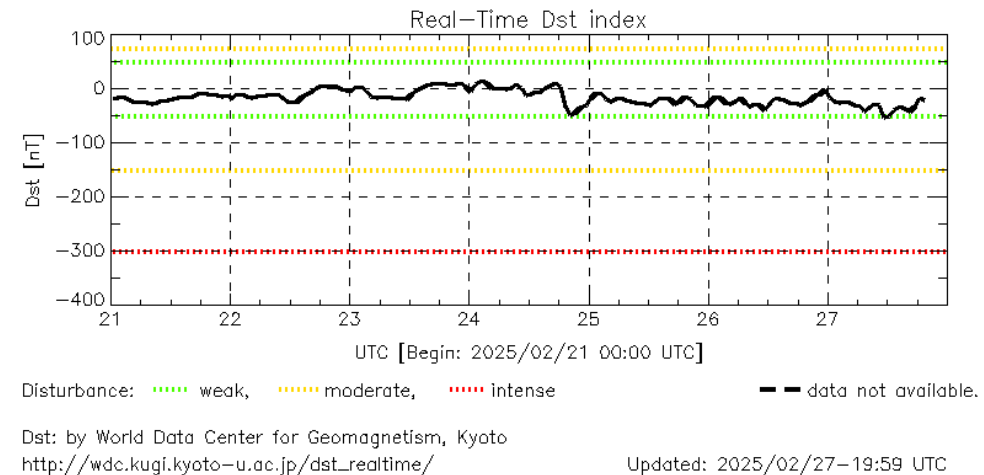
NOTA: El cálculo del índice ΔH se realizó usando datos del observatorio geomagnético en Teoloyucan, EdoMex y la estación magnética Iturbide, NL. Los datos son experimentales y no se deben de tomar como definitivos.



MEX: Regional early values of ΔH index for Mexico by REGMEX/LANCE (<http://regmex.unam.mx>)

Updated: 2025/02/27-19:59 UTC

Datos: wdc.kugi.kyoto-u.ac.jp/dst_realtime/



Los índices Dst y ΔH miden las variaciones temporales de la componente horizontal del campo geomagnético, el primero a escala planetaria y el segundo para México.

Estas variaciones, en general, se deben al ingreso de partículas cargadas, provenientes del espacio exterior, al ambiente espacial terrestre.

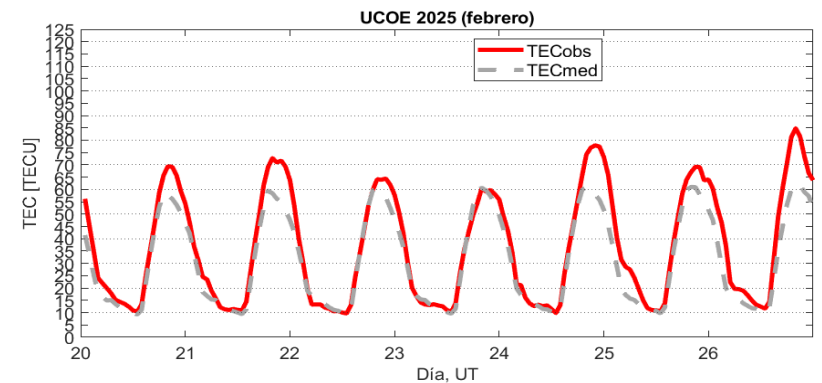
Ionósfera sobre México: TEC en el centro del país

El contenido total de electrones (TEC) es un parámetro que sirve para caracterizar el estado de la ionosfera de la Tierra.

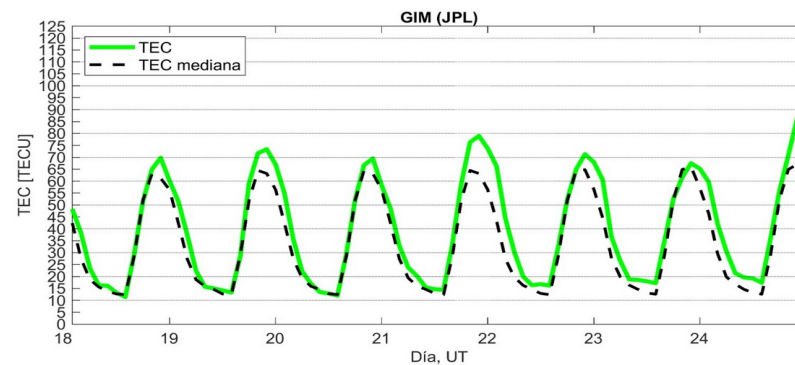
Series temporales de los valores de TEC (TECobs) con referencia a su valor mediano (TECmed) obtenidas de:

(1) Estación local UCOE, receptor ubicado en las instalaciones del MEXART

El cálculo se realiza en base del software "TayAbsTEC" del Instituto de Física Solar-Terrestre, SB RAS. Referencia: Yasyukevich et al., 2015, doi: 10.1134/S001679321506016X.

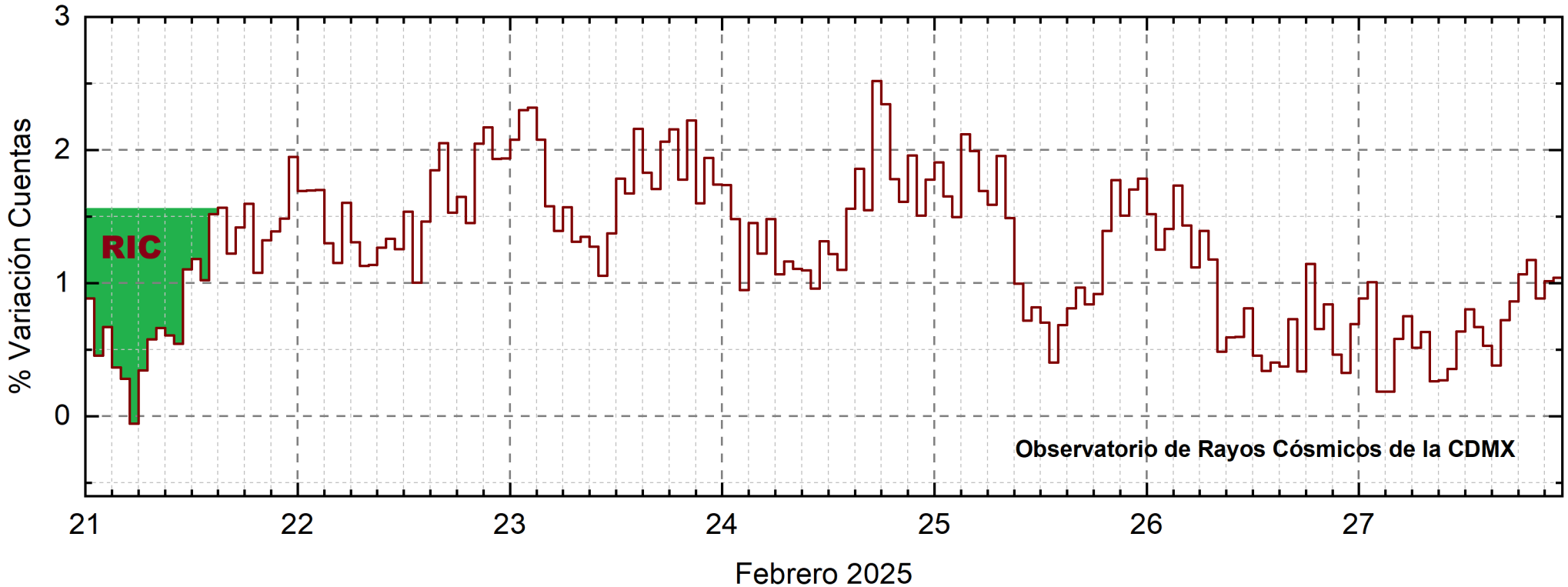


(2) Mapas ionosféricos globales (GIM JPL)



No se observaron variaciones significativas de TEC durante la semana.

Rayos Cósmicos:



<http://www.cosmicrays.unam.mx/>

Datos registrados por el Observatorio de Rayos Cósmicos de la Ciudad de México. Del 21 al 27 de febrero se registró el final del decrecimiento Forbush (dF) debido al impacto de una RIC. El dF terminó el 21 a las 14 hrs TU. El área coloreada en verde representa la caída en las cuentas de rayos cósmicos. Actualmente el flujo de partículas no muestra variaciones significativas.

Rayos C3smicos:

LANC3

Servicio Clima Espacial

Un decrecimiento Forbush es una intensa ca3da en las cuentas de rayos c3smicos gal3cticos registrados por los observatorios en Tierra. Este fen3meno se produce porque los rayos c3smicos son desviados por las l3neas de campo magn3tico asociadas a la tormenta solar.

Como los rayos c3smicos son, en su inmensa mayor3a, part3culas cargadas, siguen y giran alrededor de estas l3neas de campo magn3tico en funci3n a su energ3a y son desviados de su trayectoria original. De este modo, los menos energ3ticos no llegan a la Tierra, provocando una r3pida ca3da en el flujo detectado por los observatorios y con una recuperaci3n gradual en funci3n a los par3metros f3sicos de la tormenta solar



UNAM/LANCE/SCIESMEX

Dr. J. Américo González Esparza

Dr. Pedro Corona Romero

Dra. Maria Sergeeva

Dr. Julio C. Mejía Ambriz

Dr. Luis Xavier González Méndez

Ing. Ernesto Andrade Mascote

M.C. Pablo Villanueva Hernández

Dr. Víctor José Gatica Acevedo

Dra. Elsa Sánchez García

Dr. Carlos Arturo Pérez Alanís

Dr. Raúl Gutiérrez Zalapa

Dra. Verónica Ontiveros

Dra. Tania Oyuki Chang Martínez

Dr. Ernesto Aguilar Rodríguez

UAS/FCFM

Dra. Angela Melgarejo Morales

UNAM ENES-Morelia

Dr. Mario Rodríguez Martínez

Dr. José Juan González Avilés

M.C. Ariana Varela Mendez

Mateo Peralta Mondragón

Jaquelin Mejía Orozco

UNAM/PCT

M.C. Isaac Castellanos Velasco

Lic. Isaac David Orrala Legorreta

UANL/LANCE

Dr. Eduardo Pérez Tijerina

Dra. Esmeralda Romero Hernández

Dr. José Enrique Pérez León

Ing. Iván Antonio Peralta Mendoza

Fís. Rogelio Aguirre Gutiérrez

M.C. Adolfo Garza Salazar

UNAM/IGF/RAYOS CÓSMICOS

Dr. Luis Xavier González Méndez

Dr. José Francisco Valdés Galicia

Fis. Alejandro Hurtado Pizano

SERVICIO MAGNÉTICO

Dr. Esteban Hernández Quintero[†]

Dr. Gerardo Cifuentes Nava

Dra. Ana Caccavari Garza

Elaboración:

Agradecimientos

El Laboratorio Nacional de Clima Espacial (LANCE) es parcialmente financiado por: el programa Cátedras CONACYT Proyecto 1045 y el Fondo Sectorial AEM-CONACYT proyecto 2014-01-247722. Agradecemos al proyecto Conacyt – Repositorio Institucional de Clima Espacial 268273. Agradecemos a todos los responsables y colaboradores de instrumentos del LANCE y a las redes de estaciones GPS del Servicio Sismológico Nacional y TlalocNET por facilitar sus datos. Agradecemos a Gerardo Cifuentes, Esteban Hernández y Ana Caccavari por los datos del Observatorio Magnético de Teoloyucan. De igual forma, agradecemos los servicios de IGS (International GNSS Service) por permitirnos usar los datos IONEX disponibles en: <https://cddis.nasa.gov/archive/gnss/products/ionex>. Los valores de TEC fueron obtenidos a partir de observaciones de las redes GPS del Servicio Sismológico Nacional (SSN), SSN-TLALOCNet y TLALOCNet del Servicio de Geodesia Satelital (SGS). Agradecemos al personal del SSN y del SGS por el mantenimiento de estaciones, la adquisición de datos y el soporte de IT de estas redes. Las operaciones de la red TLALOCNet y SSN-TLALOCNet GPS han sido apoyadas por The National Science Foundation bajo el proyecto EAR-1338091 a UNAVCO Inc., los proyectos CONACyT 253760 y 256012 y los proyectos UNAM-PAPIIT IN109315-3 y IN104818-3 de E. Cabral-Cano y el proyecto UNAM-PAPIIT IN111509 de R. Pérez. De igual forma, agradecemos a los proyectos de infraestructura del CONACyT: 253691 y del PAPIIT-DGAPA: IA107116 para el fortalecimiento de equipos como la estación fija de GPS, que forman parte del LACIGE-UNAM, de la ENES unidad Morelia a cargo de M. Rodríguez-Martínez, El cálculo de TEC se realiza: 1) utilizando el software US-TEC que es un producto de operación del Space Weather Prediction Center (SWPC), desarrollado a través de una colaboración entre National Geodetic Survey, National Oceanic and Atmospheric Administration (NOAA) y el Cooperative Institute for Research in Environmental Sciences of the University of Boulder, Colorado, 2) con base en el software TayAbsTEC del Instituto de Física Solar-Terrestre, sección Siberiana de la Academia de Ciencias Rusa. Parte del procesamiento de datos se lleva a cabo dentro del centro de Supercómputo de Clima Espacial (CESCOM) del LANCE. Así mismo agradecemos al Space Weather Forecasting Center for Astrophysics & Space Research de la University of California in San Diego y al Korean Space Weather Center por los datos de pronóstico para los modelos WSA-ENLIL y los mapas tomográficos por IPS. Agradecemos a la red e-callisto por los datos proporcionados de espectros electromagnéticos dinámicos de la red internacional de registro de eventos de radio solares.

Datos

Imágenes de coronógrafo, flujo de rayos X y modelo WSA-ENLIL:

<http://www.swpc.noaa.gov/products>

<http://iswa.ccmc.gsfc.nasa.gov/IswaSystemWebApp/>

Imágenes de coronógrafo:

<http://sohowww.nascom.nasa.gov/data/>

Imágenes del disco solar y de la fulguración:

<http://www.solarmonitor.org/>

Detección y caracterización de EMCs:

<http://www.sidc.oma.be/cactus/out/latestCMEs.html>

<http://spaceweather.gmu.edu/seeds/>

ISES:

<http://www.spaceweather.org/>

International Network of Solar Radio Spectrometers (e-callisto):

<http://www.e-callisto.org/>

German Research Center For Geosciences Postdam:

<http://www.gfz-potsdam.de/en/sektion/erdmagnetfeld/daten-dienst/kp-index/>

Data Analysis Center for Geomagnetism and Space Magnetism, Kyoto University:

<http://wdc.kugi.kyoto-u.ac.jp/index.html>

UNAVCO:

<http://www.unavco.org>

SSN:

<http://www.sismologico.unam.mx/>

SOHO Spacecraft NASA:

<http://sohowww.nascom.nasa.gov/>

SDO Spacecraft NASA:

<http://sdo.gsfc.nasa.gov/>

Space Weather Prediction Center NOAA:

<http://www.swpc.noaa.gov>

GOES Spacecraft NOAA:

<http://www.ngdc.noaa.gov/stp/satellite/goes/index.html>

ACE Spacecraft NOAA

<http://www.srl.caltech.edu/ACE/ASC/index.html>